

# 中国东北部辽宁山东等省前震旦紀鞍山式 条带状鉄矿中富礦的成因問題

程 裕 淇

(中华人民共和国地质部地质矿产研究所)

## 一、导 言

中国前震旦紀变質地層中所含的条带状变質鉄矿，是中国储量最大的鉄矿类型<sup>[30]</sup>，由于在辽宁省鞍山附近最先發現并且分布很广，因此称为鞍山式鉄矿<sup>[1]</sup>。鉄矿主要为贫矿，含鉄量一般在25—40%之間，以35%左右者最多，但局部也含有鉄分在50%甚至60%以上的富矿。

对于鞍山附近本类型鉄矿中富矿的成因，在解放以前，曾有若干地质工作者<sup>[1, 8]</sup>，尤其是日本地质工作者<sup>[3, 6, 9, 10, 12, 15]</sup>进行討論并作过一定程度的研究，对不同产地提出了不同的解釋，包括：(1)原生(与贫矿同时生成)，(2)接触变質<sup>[4]</sup>，(3)冷水溶滤(及鉄質交代)，(4)热液溶滤和(5)热液交代等不同說法。但是由于缺乏在有关矿区所进行的詳細地面和地下地质工作，对于矿区內变質岩命名、划分和构造的了解，还不够詳尽<sup>[2]</sup>，沒有認識到含鉄地層所受到的不同程度的混合作用(主要是花崗岩化作用)及有关的地质作用影响，因此对于富矿生成条件的掌握不够全面，对于富矿成因的討論不够詳尽与深入，沒有结合全区的地质發育史来进行研究，因此也就不可能总结出一些成矿規律，作为进一步找寻富矿的指示。

最近六年多来許多地质工作者在中国东北部辽宁、山东等省本类型鉄矿若干矿区所做进一步地质工作的結果，对有关矿区的基本地质情况和地质發育历史，以及本类型鉄矿中富矿的生成，有了較深入的了解与認識<sup>[17, 18, 19, 20, 21, 22, 23, 24, 25, 26, 27, 32]</sup>，其中1950年在弓长岭<sup>[17, 19]</sup>所做的詳細普查工作，通过了变質地層<sup>[3]</sup>、构造、混合作用(主要是邊緣相的花

1) 以前也曾叫过辽宁式鉄矿<sup>[1, 8]</sup>，因为辽宁省建制曾一度取消，分为江东江西，所以后来就改称为鞍山式鉄矿。

2) 变質岩的命名和划分方面还有錯誤的地方，因而也影响到对矿区地质构造的正确了解。

3) 该区变質岩系層序已列入1956年出版的“中国区域地層表(草案)”，103—104頁。

岩化作用)与区域变质, 和矿体产状与物质成分较详细的研究, 首先发现了某些重要富矿体的生成是受到了明显的构造控制, 也初步明确了富矿生成所需的围岩(包括伴生岩石)条件及其与混合作用的可能关系, 这些初步结果在以后的勘探工作中, 获得进一步的肯定<sup>[33]</sup>, 并且适当地推广到其他矿区富矿成因的解释<sup>[22, 27, 32]</sup>。最近周世泰等找到了贫矿受到热液影响而发生铁质局部迁移的现象, 因而说明有些贫矿的局部富化与局部贫化是形影相随<sup>[26, 27]</sup>的。但必须指出: 1950—1951年好几个矿区的普查工作中, 虽然做了一些变质岩、变质地层和矿体产状等等的研究, 还缺乏必要的系统而详细的工作和岩石化学的资料, 以后的勘探工作<sup>1)</sup>对于这些缺陷弥补很少或竟没有增加新的资料, 因此总的来谈, 对于富矿生成过程的了解还是不够深入的。

本文撰写的目的在于在简短地介绍解放后关于本问题的新发现与新认识<sup>2)</sup>的基础上, 对我国东北部辽宁、山东及附近地区鞍山式铁矿中富矿的成因作综合性叙述与分析, 重点地讨论一些重要类型——尤其是重要产地的重要类型——的生成地质条件, 作为提出今后普查工作中找矿标志的参考; 对于鞍山式铁矿的一般地质特征, 也作了简短的评述。文中不成熟的意見和初步的結論, 一方面固有待于进一步野外地质工作与室内詳細岩矿鉴定、研究和化验資料的驗証和补充, 另一方面更需要今后参加有关勘探与矿山地质工作同志們根据更多的实际資料来进行討論, 并提出批评与修正的意見。最近罗耀星([32], 頁 29)曾对辽宁鞍山、本溪等地区鞍山式铁矿中富矿成因作了简略的評述, 其中部分意見与本文所述有所出入, 因未見其詳細实际資料, 只能在适当章节, 对于他的意見, 作简短的討論。

文中的事实根据, 主要是 1950—1951 年作者及其他地质工作者<sup>3)</sup>在弓长岭及其东北地区(弓长岭、歪头山、本溪间三角地区)所做的铁矿普查和地质测量的报告或原始資料, 作者在八个<sup>4)</sup>其他矿区的短期参观或协助工作所得, 以及有关的普查与勘探报告。最近在河南、山东境内的短期观察所得, 亦用以作为文中个别論点的說明与根据。

对于和上述引用資料有关的同志, 担任本文附列弓长岭岩石矿物分析的地質部北京化驗室有关同志, 进行弓长岭两种矿物选分及詳細光学性質鑒定的前地質部地矿司黄蘿慧同志, 以及摄制所附标本和显微镜照片的前中国科学院地質研究所李时俊同志,

1) 根据作者所見到的勘探报告(見参考文献)。

2) 除了少数論文([28], 頁 129; [30], 頁 48; [32], 頁 29)中曾極簡略地提到富矿生成所受的构造控制及其他地质条件以外, 迄未公开譏議。

3) 1950 年: 李曉英、趙貴三、李靜仁、潘曉祥、王运昌、曹大曾; 1951 年: 沈永和、沈其林、翁礼堅、曹扶庸、張室庆、赵乃文; 李曉英、潘曉祥、陳菊。

4) 包括东西鞍山、大孤山、樱桃园、八盘岭、庙儿沟、歪头山、北台沟、大河沿等区, 由李曉英、李春昱、楊博泉、曾国权、沙光文、李曉英及其他同志陪同进行野外観察。

作者表示深切的感謝。在本文的最后整理期間，沈其韓同志提出了宝贵的补充意見，在此一并志謝。

## 二、貧鐵礦及含鐵層的一般特征

就含鐵地層和所含鐵礦的地質特征來講，鞍山式鐵礦的貧矿大致可与苏联克里沃罗格<sup>1)</sup>等地区的前寒武紀“含鐵石英岩”、美国苏必利湖地区啓洼丁及休罗宁系(Keweenian and Huronian systems)中碧玉鐵質岩或鐵燒岩([11], 頁 564—567)等相比拟，但由于受了較深的變質，所含矿物颗粒較美国同类貧矿为粗。

各地所見的主要鐵矿，大多屬相同或相似的層位；含矿地層在許多地方都不整合在震旦系<sup>1)</sup>或寒武系<sup>2)</sup>之下，在与本区相邻的山西、內蒙西部<sup>3)</sup>，則為前震旦紀另一變質較淺的岩系所不整合蓋复，因此大致可与上部太古界的“五台系”相當，在鞍山附近則稱为鞍山統。含鐵地層一般呈帶狀出露于前震旦紀花崗質岩石<sup>4)</sup>區域中或其附近，褶皺剛烈，含鐵層及其上下岩層中不同岩石所受花崗質岩漿及有关流体的影响及同化——花崗岩化作用<sup>5)</sup>及其有关交代作用的混合作用——的程度，決定于其岩石性質及其与花崗質岩漿活動帶間的距离。其中以貧鐵矿及矽質拉岩(即重結晶程度較深的石英岩)最不易受到这些影响或同化，其次是角閃岩和角閃質岩石，其他岩石比較易于受到感应和同化。常見到貧鐵矿和紧接着的上下岩層构成仅受花崗質、偉晶花崗質、長英質等侵入岩層或岩脈或石英脈、細脈所侵入的“脈岩侵入帶”([13], 頁108)，更上和更下的岩層受到不同程度的混合作用，构成主要由混合岩組成的标准“混合帶”(圖7)。这种情况在辽宁的弓長嶺第二矿区<sup>6)</sup>、廟兒溝<sup>7)</sup>、歪頭山<sup>8)</sup>等处都能見到；有時混合岩再漸变为片麻狀混合花崗岩(如弓長嶺二矿区以东及以西)。有些地区，貧鐵矿是花崗質岩石中的唯一殘留者<sup>9)</sup>，上、下岩層都已受到高度的花崗岩化，貧矿層或在走向上斷續相連達一定距离，或单独延長达1—2公里以上；在这种情况下鐵矿厚度一般較小，局部表現重結品和不同程度的物質遷移(富、貧化)現象，但矿物颗粒仍較附近岩石(混合岩)为細。

含矿地層中含鐵層位一般比較穩定，如在鞍山附近，圍繞着一个局部为断層所割切

1) 如辽宁鞍山附近。

2) 如山东中部。

3) 据李誠英同志报告，固陽附近含有鞍山式鐵矿的變質岩系和另一變質較淺岩性不同(含有白理質石英岩、石英岩和板岩等)的岩系都为震旦系所不整合蓋复，兩变質岩系的露头相距不过十公里，但变質程度、傾斜情況和岩石性質都不同，因而推定两者之間有不整合存在，变質輕的时代較新。

4) 如辽宁弓長嶺及以北地区为一淡紅色、中粒、略呈片麻狀的混合質、花崗閃長質岩石，富含奧長石，并有不定量的微斜長石。程裕洪等認為弓長嶺地区的“較老花崗岩”([17], 頁108)。

5) 有些堆場，花崗岩化和区域变質作用有著密切的关系。

6) 如本溪西北的梨樹沟以西許多地点和山东中部等地。

和花岗质岩石所侵入、同化的复向斜层而出露的总长度达20—30公里，另在弓长岭东北大河沿附近及以北地区，虽局部受到断层的影响，也断续延长在15公里以上。但是矿层和上、下岩层的厚度和岩石性质，往往在较短距离内有较大但是逐渐的变化。

按其共生岩石性质的差别，铁矿层的产状有三种不同情况。在大多数地区（如辽宁省弓长岭、箭儿沟、歪头山间三角地带，吉林、河北、山东中部等地），条带状铁矿常与含有一定数量石英的斜长角闪岩或其他角闪质岩石密切共生，构成厚达300—400米的含铁层；有时含铁层内并夹有一定厚度的半粘土质粒岩或片岩<sup>1)</sup>，可作为一定地区内岩层对比的标准（图2）。含铁层之上常是半粘土质的云母石英粒岩，有时是砂质粒岩；以下常另有厚度不等的角闪质岩层（图2）存在，更下的岩层一般以半粘土质的粒岩或片岩为主。地层较为完整，受混合作用浅的地区（如弓长岭的东北20—30公里的地区），含铁层和上、下变质岩层的总厚达3,000米以上，其下部还有变质酸性火山岩系的存在。

这些含铁层和铁矿可暂称为鞍山式含铁层和铁矿的角闪质类型，铁矿本身也含有角闪石，其数量可达矿物总量四分之一以上，但都是含铁较高的角闪石，成分、种类和角闪质岩石中的普通角闪有不同。铁矿层数一般在3—4层以上，最多时达6层，每层厚度不大，一般都不超过30—40米以上。有些地方铁矿层走向或垂直于层面的方向渐变为含铁砂质粒岩（石英岩）或砂质粒岩，有时且具有交错层结构。值得注意的是：各铁矿层的总厚度常随含铁层总厚度的大小而变化<sup>2)</sup>，铁矿层走向的风化现象有时也和含铁层厚度的减小趋势相符合。

上述含铁层中或以下的角闪岩和角闪质岩石，除普遍含有不等量的石英<sup>3)</sup>以外，并有长石角闪石英粒岩和条带状角闪岩（[18]，页133）等类型，偶有半粘土质的云母石英长石粒岩薄层，近邻贫矿者，还有磁铁阳起片岩、磁铁阳起石英粒岩等过渡类型。这些岩石厚度虽有变化，但层次整齐，与所含产状明显、由大小基性侵入体变成的斜长角闪岩的形态迥不相同，不论从产状和岩石性质方面，都可和苏格兰德喀式角闪质岩石

1) 在弓长岭主要是局部绿泥石化的黑云母长石英层岩或片岩，偶含铁层和砾石；在箭儿沟，绿泥石化不显著，局部含少量绿帘石或普通角闪石，可见含铝稍多。两地水平距离达30公里，可根据这个标准进行对比。为了更清楚地表示变质岩未变质前的可能岩石性质，本文采用了苏格兰变质岩地区“粘土质”、“半粘土质”、“砂质”等命名办法，“粒岩”的含义也是根据岩石内矿物的粒状结构而规定的。

2) 箭儿沟地区含铁层<sup>3,22)</sup>向北变薄的情况，最为典型。

3) 弓长岭含铁层下含铁带内一块含有少量石英的角闪岩（号码AO 18j），经黄蕙蕙所作薄片的矿物百分比测定为：普通角闪石，71.42；长石（基性奥长石），17.47；石英，2.45；磁铁矿，2.75；其他（电气石、绿帘石、磷灰石），5.88。许多角闪质岩石的石英含量，较少为多，有的达矿物总含量1%以上甚至接近五分之一。同一标本的化学分析结果的%为： $\text{SiO}_2$  51.01;  $\text{Al}_2\text{O}_3$ , 13.06;  $\text{Fe}_2\text{O}_3$ , 3.90;  $\text{FeO}$ , 8.97;  $\text{MgO}$ , 8.33;  $\text{CaO}$ , 7.50;  $\text{K}_2\text{O}$ , 0.80;  $\text{Na}_2\text{O}$ , 3.18;  $\text{H}_2\text{O}^+$ , 1.04;  $\text{H}_2\text{O}^-$ , 0;  $\text{TiO}_2$ , 1.00;  $\text{CO}_2$ , 0.12;  $\text{MnO}$ , 0.14;  $\text{V}_2\text{O}_5$ , 0.05。其化学成分极一般的玄武岩等基性火成岩所含  $\text{SiO}_2$  为多，含石英较少为多的， $\text{SiO}_2$  的含量当更高。

(Hornblendic rocks of Dурча type; [18], 貢109; [14])相比，因此未变質以前的确实岩石性質還不能肯定，但基本上是由沉积方式(包括噴發沉积方式)生成的。原来的岩石可能是鐵質白云岩或泥灰岩、綠泥質泥灰岩，也可能是較富于鈣、鐵、鎳的凝灰砂岩，基性凝灰岩，并夾有基性岩流，但为上述的大小基性侵入体所侵入。但据最近罗耀星的意見，則在辽宁沈安綫一帶和貧鐵矿有关的角閃岩，其原岩以火成岩为主([32], T(27))。

在个别地区，如山东芝罘島<sup>1)</sup>，鐵矿呈几个薄層<sup>1)</sup>产于厚300余米的长石石英片麻岩中，片麻岩上下又有很厚的以石英岩为主的地層，石英岩中局部含有一層薄的鐵矿，露出的变質岩总厚在1,500米以上。矿層不含角閃石及其他鐵鎳矿物，但部分受偉晶花崗岩的影响較深。这是鞍山式含鐵層和鐵矿的第二种类型<sup>2)</sup>，暫称为砂質或矽質类型。

在鞍山附近，鐵矿較厚，平均自60—70米至200米左右，且一般只有一層。鐵矿中偶爾包含的較為薄、小夾層和上下岩層，主要是粘土質的綠泥片岩、云母片岩和千枚岩。鐵矿本身主要由石英和鐵矿矿物(如磁鐵矿、假像赤鐵矿、赤鐵矿)組成；角閃石及礦物的含量一般很少，甚至沒有，只在局部地区含量較多(如櫻桃園南眼前山)。这是鞍山式含鐵層和鐵矿按其共生岩石性質而划分的第三种类型，暫称为粘土質类型。

上述各种与鐵矿層共生的岩石，除了角閃岩和角閃質岩石的一部分原生岩石可能是岩流和凝灰岩以外，其他都是标准的变質沉积岩，并且代表了大地槽內較淺水的不同沉积相(包括噴發沉积相)，都受到大地槽發展过程中的褶皺作用、区域变質作用的深刻影响以及有关的酸性岩浆活动和花崗岩化作用的一定影响——一般講來只是花崗岩化作用地带外围的較輕微热液作用或脉岩侵入的影响。鐵矿本身有一定的層位，延长較远，可漸变为标准的变質沉积岩(見前)，在野外更能看到所含很薄的条帶或1毫米以下的層紋构造沿走向延长很远而平直，一般不像在变質作用过程中所生成或交代原岩特征的构造，而主要是变質作用所保存的原生沉积构造；因此原来也應該是一种沉积作用的产物，是局部具有条帶狀和細紋狀构造的富含鐵質的沉积物，鐵質的沉淀和含鐵矿物<sup>3)</sup>的生成可能以化学作用为主，以后又经历了区域变質作用(包括常相伴生的一定程度的流体活动和交代作用)及其他的变化，鐵的存在状态發生了变化，鐵質有所迁移，但一般講來，鐵的总含量沒有显著的增減，迁移的范围也較小。至于鐵質的来源及其积聚、沉淀过程，在外国地質学家对于相似鐵矿类型成因的不同解釋([16], 貢455—458)中，还不能肯定以那一种最为合理，由于作者在这方面未作深入研究，暫時也沒有新的意

1) 整个变質岩中共有5層，一般只厚3米左右，仅有1處的累計厚度达10米。

2) 边效曾同志面告，他認為該地鐵矿主要由和偉晶質花崗岩有关的含鐵熱液与圍岩交代生成，不屬标准的鞍山式鐵矿。

3) 可能是鐵的炭酸盐或矽酸盐矿物，一部分是非晶質。

見。現在只提出兩個值得進一步研究的問題：首先，上述三種不同類型可能代表不同沉積型相，型相的不同，是否對於鐵礦層的多少和厚薄、雜質含量的性質和變化有一定影響呢<sup>1)</sup>？其次，如角閃質岩石的一部分是變質的基性岩流和凝灰質岩石，那末鐵質的來源（至少是一部分）是否與海底基性火山活動有一定關係呢<sup>1)</sup>？因此對於最近羅耀星（[32]，頁29）提出貧鐵中原來鐵分主要取自海底噴發岩的意見，作者雖還缺乏具體的資料來進行詳細討論，但至少對於角閃質類型的鞍山式含鐵層和鐵礦來講，認為是一個可能的合理解釋。當然，這都需要在進一步工作中才能加以研究解決的。

最近徐國風（[31]，頁17—18）提到拉爾欽科對於鞍山式貧鐵礦成因的不同看法的非正式意見<sup>2)</sup>，認為條帶狀鐵礦是由“熱液活動重複了岩石的片麻狀和片理構造發生交代沉淀作用”而形成的，和附近混合岩的生成有相似的過程，這是在今后實際工作中值得加以考慮和研究的。但是根據作者個人實地觀察所及並配合了一定程度的室內顯微鏡工作的結果，在許多條帶狀鐵礦發育最好的地區，鐵礦和共生岩石一般並不具有混合岩所特有的結構、構造，連可能和混合作用有關的熱液活動痕跡也是比較微弱的，這是實際現象和上述新意見最不吻合的一點。又根據作者最近（1956年9月）在河南的觀察，鞍山式條帶狀鐵礦受到前震旦紀花崗岩化的高度混合作用的時候，由於鐵質和其他物質受到高溫流體的影響而發生遷移，條帶狀構造受到了破壞；這也和上述“混合生成說”有所矛盾。因此有必要搜集更多而全面的實際資料來對新的成因假說進行討論與研究。

鞍山式貧鐵礦常呈寬窄不均的黑白條帶狀<sup>3)</sup>或細紋狀<sup>4)</sup>構造（圖版I圖1,2；圖版II圖1），這些構造，在顯微鏡下也很明顯（圖版III圖1,2,4）。黑色的條帶和紅紋含有相當數量的鐵礦礦物；白色的以石英為主，含有少量鐵礦礦物或其他礦物。黑色條帶或細

1) 一年多以前在祁連山地區某地下古生代變質變質岩系中所發現的鐵礦，根據作者短期考察，並結合有關勘探的工作成果，具有和上述粘土質變質的鞍山式含鐵層及鐵礦相似的地質特徵，但區域變質程度較淺。該地鐵礦一般只有一層，可達一定的厚度，含鐵層位延展較遠，受褶皺後得以反復出露。礦石一般具有明顯的條帶狀構造，深色條帶主由不等量的鐵鐵礦、菱鐵礦組成。白色條帶主由細粒石英組成。和北美的岩漿岩質岩有一定程度的相似性。礦層上下是矽云母或綠泥石千枚岩，根據陳上陳森等的意見，有的千枚岩由凝灰質岩石變成，在鄰近地區的含鐵層位以下的地層中含有輕級變質的海底噴發火成岩，原來的鐵礦系由沉積方式生成，但又受到輕微的區域變質及有關地質作用的影響，至于鐵質來源，則與海底火山噴發有關係。作者認為該地鐵礦及含鐵層與鞍山式鐵礦及含鐵層在某些地質特徵上的相似性是值得注意的，兩種含鐵層的原來生成過程也可能有相似的地方；前者變質輕微，成因的研究較易着手，也較易獲得成果，這個問題的適當解決，對後者最初生成時地質條件的研究將有所幫助。

2) 這不是在拉爾欽科教授自己寫的科學論文中提出的，這些意見的發表是否得到了教授的同意，在徐同志的文中未加說明。因此只能認為是教授的非正式意見。

3) 條帶寬2—20毫米。

4) 數寬1毫米以下。

紋按其矿物組成又分为两类：(1)由铁矿矿物(磁铁矿<sup>1)</sup>及或赤铁矿<sup>1)</sup>)和石英組成，相互比例不定(圖版III圖1)；(2)主要由铁矿矿物及不定量石英組成，常另含不同的角閃石类矿物<sup>2)</sup>(圖版III圖4)，有时也有碳酸盐类矿物<sup>3)</sup>、铁鋁柘榴石、綠泥石、黑云母等。有时条纹状结构不显，全体矿物成分接近黑色条带(圖版III圖3)。铁矿矿物的結集体和铁鎳矿物——主为角閃石类矿物——的分布常有一定的方向，后者有时排集成面，介于黑白帶、紋之間，使矿石外觀具有片狀乃至片麻狀构造，但是全体矿物在顯微鏡下基本上还是呈粒状結構(圖版III)。

根据辽宁省几个矿区的顯微鏡下統計資料<sup>[19,20,22]</sup>，铁矿矿物和石英颗粒度相差不大，但石英細的較多，铁矿矿物绝大部分在0.25或0.5毫米以下，有的大部分在0.125—0.25毫米以下。不同地区矿物颗粒的大小不一定与铁矿及其围岩的变質程度的深淺有明确的关系，如丹长岭及庙兒沟地区岩層变質一般較鞍山附近的樱桃园一带為深，但粒度反較細，这还是一个值得进一步研究的問題。

铁矿的含鐵量以在30—35%者最多，具有粗条带状构造的含鐵較低；含有角閃石类矿物或其他铁鎳矿物的，其中一小部分铁質——般不超过3—4%——系来自这些含鐵矽酸盐矿物。含SiO<sub>2</sub>一般在40—50%甚至55%之間，S, P含量很低，一般只有万分之几。在角閃石类型的铁矿中，因为含角閃石类矿物較多或很多，CaO和MgO的含量一般在1%以上，有时达3%左右；其他两种类型中，这些矿物的含量很少，甚至完全沒有，因此CaO和MgO的含量一般在0.1%以下。

### 三、富鐵矿的分类、特征及生成条件

鞍山式铁矿中的富矿，虽然体积大小不等，矿体形状和铁矿的共生矿物也不相同，但一般都生于貧鐵矿中<sup>4)</sup>。由于前人([1];[10],頁100)曾在上复的震旦系釣魚台石英岩底砾岩中找到了富矿的砾石，因此推論富矿也生成于震旦紀之前。据作者現在了解，对于主要的富矿体來講，这种結論是正确的，另有一部分次要的富矿，生成的时期較晚(見后)。但据罗耀星([32],頁30)最近的意見，則認為大部富矿的生成与震旦紀后的花崗岩有关。按其生成的地質条件的不同，大致可以分为下列四大类型：

(一)由貧鐵矿經含鐵热液交代富集而生成的富矿 这是储量最大而最重要的类型，矿体呈不規則脉状或豆狀，矿石一般較为致密；在富矿附近，常有显著的热液蚀变

- 1) 包含次生的假像赤铁矿或褐铁矿等。
- 2) 包含鏡閃石、陽起質閃石、陽起石、鐵銹閃石等，隨地而異。
- 3) 包含斜方解石、鐵白云石、菱鐵矿、方解石等。
- 4) 有时貧矿的一部分已全部变为富矿。在櫻桃园有生于貧矿附近热液蚀变带中的富矿(27,詳后)。

現象，并有一定宽度的蝕变带存在，其生成往往受一定程度的构造控制。根据所含主要铁矿矿物的种类及其所反映的不同生成条件，又可分为两大亚类：

甲、铁矿矿物以磁铁矿为主，生成温度較高的。矿石主由磁铁矿組成。在靠近地表及其他一定的地区，一部分磁铁矿已部分变为假象赤铁矿<sup>1)</sup>，这主要受地表氧化作用的影响所致，但有些地方，是明显地受了較晚热液活动的氧化作用而發生的变化；也有局部氧化为褐铁矿的。富矿中含有少量或微量的其他矿物，他中最主要的是綠泥石（种类很多，有鱗綠泥石、輝綠泥石和扇石等，一般富含鐵質），其次是角閃石类矿物、石英、黑云母或黃鉄矿，有时也有赤鐵矿、黃銅矿、磁黃鐵矿、菱鐵矿和方解石。在不同地点看到的角閃石类矿物有鎳鐵閃石、鐵直閃石、欽閃石、陽起石等，但往往并不同时存在；矿物中含鐵量較貧矿中的角閃石类矿物为高。在弓长岭第二矿区等处，还有白云母、电气石、鐵銅柘榴石等。上述共生矿物或其一部分，有时构成矿体围岩蝕变带的主要部分，有时呈分带現象，其中也常混杂一些磁鐵矿小粒，但綠泥石常是主要的組成矿物（圖1）。

由于富矿中有微量黃鐵矿等含硫矿物的存在，致使其含硫量較貧矿为高，磷的含量一般沒有显著的差別， $\text{SiO}_2$ 、 $\text{CaO}$ 、 $\text{MgO}$ 、 $\text{Al}_2\text{O}_3$ 等都較附近沒有富化的貧矿为低。

除了个别矿体<sup>2)</sup>，本类富矿一般都較致密坚硬（圖版IV圖2），铁矿颗粒較貧矿为粗。矿体不但生在貧矿中，而其边部也有时渐变为貧矿，或竟夹有局部富化的貧矿（圖版II圖2），后者显示受鐵質部分交代，致含有順条带和原生層面而生的富矿条带和蝕变矿物（圖版V圖2）。結合上述矿体围岩所呈的蝕变現象，足以充分証明这些富矿系由貧矿为含鐵热液所交代生成；根据蝕变矿物的种类和性質，并可推定热液的温度最初是比较高的，而且在有些地区（見后）基本上还在区域变質作用的环境下活動的。根据都留一雄<sup>3)</sup>的觀察，本溪市兒沟的富矿，有交代白云岩而生成的迹象，經楊博泉<sup>4)</sup>等研究，并未發現白云岩的痕迹，富矿仍是由于含鐵热液交代貧矿而生成的（圖1）。

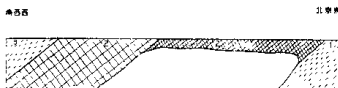


圖1 儿兒沟×坑剖面示意圖(根据参考文献[29]根據某等原圖略加修改)

示磁鐵富矿的产状。1. 石英斜長角閃岩，上部(接近2"处)渐变为綠泥片岩，后者含磁鐵矿小晶体，偶有白云母。2. 塊状及細粒狀磁鐵貧矿，接近富矿(2")处富矿内屬起質透閃石已部分变为綠泥石，并含黃鐵矿。2"塊狀磁鐵富矿，邊部含綠泥石及黃鐵矿較多。3. 石英斜長角閃岩，局部含有微量綠泥石。

較大的矿体厚达 20 米以上，多沿富矿生成以前的較大斷層或密挤褶皺帶而产出。

1) 假象赤鐵矿化一般沿磁鐵矿的边缘及其解理开始进行，然后逐渐深入矿物的内部。

2) 儿兒沟有一个富矿体，结构稍較松散。

有些断層与地層走向近乎平行，生成在含有貧矿的地槽沉积初次受到密挤褶皺的末期，延长、延深都較远，因此断層附近的富矿体較長，断續延深达数百米以上（有的沿富矿凹周的貧矿層位下延至深可达1,000米以上）；有些是較小的斜交断層，生成时间可能較晚，两旁的富矿也就窄小（弓长岭一部分地区），蚀变矿物的种类和数量也少。有时在貧矿的节理附近，也有局部富化現象。可見这些构造上的虛弱帶是含鐵热液活动与上升的通道。

这些富矿，一般距花崗質岩体——尤其是时代屬前震旦紀而与混合作用的生成有密切关系的——或混合岩不远（自50至200—300米不等），上述热液活动很可能和这些花崗質岩体或混合岩的生成有着密切的关系，因此不同地点的铁矿富化（及热液活动）时代可能是不同的，但以前震旦紀为最重要。有的产于作为花崗質岩石捕虏体的貧矿中，但沒有明显蚀变現象的捕虏体，一般沒有显著的富化現象，这更說明了热液作用与富铁矿的生成有着密切的关系。造成富矿的鐵質来源，各地情况也不一致，一般和花崗質岩浆活动甚至部分和混合作用有关，但还是一个值得深入研究的問題。

有时，富矿生于貧矿受偉晶岩、偉晶質花崗岩或其他岩脉（如山东中部、歪头山）侵入部分的附近，为不規則的小矿体（小矿脉），它們的生成似乎沒有受到明显的构造控制，而是貧矿中鐵質受了岩脉形成过程中有关流体的影响、迁移富集而成，常有綠泥石、黃鉄矿、陽起石或方解石等矿物的伴生；由于富矿附近缺乏特殊貧化的部分，也应有少量鐵質的加入。

此外，值得注意的是：較大的富矿体都生在与角閃岩密切共生的貧矿中，至少被富化的貧铁矿中原含有一定数量的角閃石（主为普通角閃石和陽起石質透閃石），而角閃石已受热液蚀变而变为綠泥石或黑云母。作者認為角閃石的存在与貧矿受到一定規模富化的这个事实，不是偶然的現象，而有着成因上的意义。一方面可能由于角閃岩較易<sup>1)</sup>为热液所渗透、交代而角閃石較易为热液所蚀变与交代，它們的存在，为热液的上升与活动提供了有利的条件；另一方面也許因为角閃岩中的普通角閃石和貧矿中的陽起石質透閃石蚀变为綠泥石或其他矿物的过程中，有一定数量的鈣質和鈉質从上述角閃石类矿物加入热液，使原已可能具有一定程度鹼性反应<sup>2)</sup>的热液，适当增大其pH值及相对地加强其鹼性反应，因而有利于石英的被热液所溶解而为矽矿矿物所交代，但新增鈉質（鈣質）可能即为热液移带他去，因此生成的热液矿物中沒有含鈉的矿物。

鞍山市弓长岭第二矿区鞍山式铁矿中磁铁富矿是本亚类矿床中最好的实例，曾經

1) 考貧鐵矿比較。

2) 角閃石的轉变为黑云母和有些地区的蚀变矿物中含有白云母这事實說明热液带来了鉀質。

北上南下

南北西

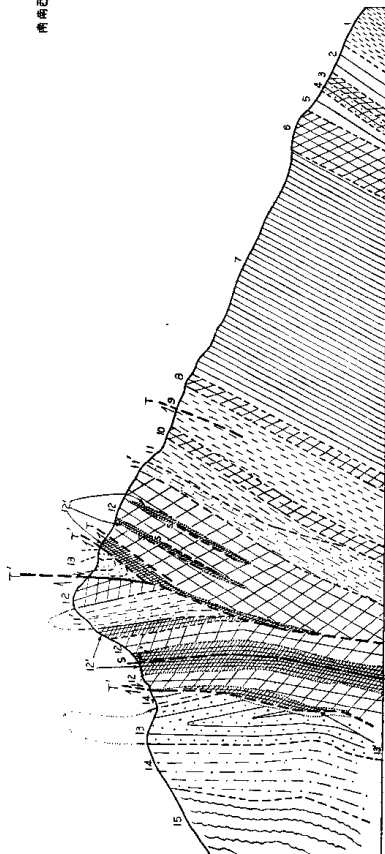


图2 弓郎腊二河区中带示意图面  
示“攀山段”铁矿的含铁层及壳上下地层的界线，其生长期地层条件。1.石英斜长角闪岩，局部条带化。2—12.含铁层，其中2—6为上含铁层，8—12为下含铁层。3.局部条带化的云母片岩及石英云母片岩。4.麻纹状板岩（第一层铁矿）。5.局部条带化的云母片岩及石英片岩。6.植被带。7.断层。8.麻纹状板岩（第二层铁矿）。9.磷灰石。10.麻纹状板岩（第三层铁矿）。11.石英岩。12.破裂带。13.含铁层。14.绒云母片岩。15.条带状条带岩。T' 主要走向断层，主要生成于富矿带之前。T：小逆断层，主要生成于富矿带之前。

作者等<sup>[17,18]</sup>作初步研究，在此拟进行适当叙述和讨论，以说明它的生成过程。

这些矿体距混合岩或混合质花岗岩不远（图2），无例外地生于最近发现<sup>[17,19]</sup>的几个

与走向近乎平行的大断层（一般是陡倾逆断层）带附近的磁铁食矿中（图2,3），矿石中主为磁铁矿（包括局部假象赤铁矿化的磁铁矿），间或杂有少量赤铁矿和微量黄铁矿、黄铜矿或磁黄铁矿。靠近上下盘的地方，往往含有一定数量的紫红色铁铝柘榴石<sup>1)</sup>和呈放射状集体的棕绿色至浅黄色镁铁闪石<sup>2)</sup>和暗棕绿色铁直闪石<sup>3)</sup>，含铁量相对减少；再向上、下渐变为磁铁镁铁闪石（铁直闪石）柘榴岩、绿泥镁铁

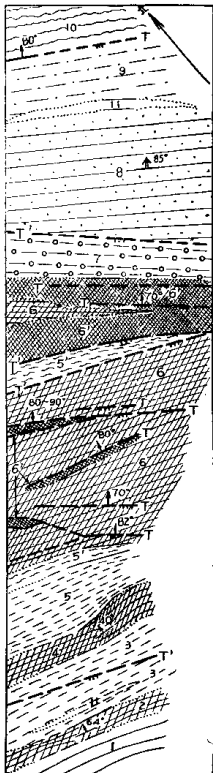


图3 丹长岭×山270米坑道内地质示意图

（根据参考文献[19]翻版54及程裕淇等原始记录修改）

示鞍山式铁矿的含铁层上含铁带序及富矿生成的地质条件。

1. 细粒牛粘土质白云母（局部含泥化）石英长石岩层（含铁层中部标示带）；2—7. 含磁铁石英带（包括富矿的富化部分和热液蚀变部分）；2. 细纹块状铁矿石（上含铁带的第一层富矿）；3. 石英斜长角闪岩（下角闪岩）；4. 细纹块状磁铁矿石（上含铁带的第二层富矿）；5. 石英斜长角闪岩（上角闪岩）；5'. 麦泥质石英石英长角闪岩，局部含有铁闪石（蚀变的上角闪岩）；6. 细纹块状及块状磁铁矿石（上含铁带的第三层富矿）；6'. 磁铁富矿，局部含有微量磁铁闪石及铁铝柘榴石（富化的上含铁带的第三层富矿）；7. 含有石英磁铁矿，绿泥石和镁铁闪石的柘榴石岩（铁化和蚀变的断层带，原为黄铁矿至矽质砾石的过渡带，在断裂带局部是角砾岩化）；8—9. 含铁层以上的矽质岩层；8. 砂质砾岩（中粒石英岩），局部含绿泥石及绢云母；9. 绢云母石英岩；10. 层理及条带状混合岩——由“半粘土质”岩石受一定程度麦泥质化所造成的混合岩，具明显的片麻状构造；11. 白色奥长石伟晶花岗岩岩墙；T. 主要走向逆断层，主要生成于富矿生成以前；T'. 小逆断层，主要生成于富矿生成以前。

1) 镍铁食母测定其  $N_D = 1.822 - 1.824$ 。化学成分为  $\text{SiO}_2$ , 31.18%;  $\text{Fe}_2\text{O}_3$ , 30.39%;  $\text{FeO}$ , 16.84%;  $\text{Al}_2\text{O}_3$ , 19.04%;  $\text{CaO}$ , 0.13%;  $\text{MgO}$ , 1.49%;  $\text{MnO}$ , 0.86% (9)。

2) 该矿物经地质部北京化验室的分析，其结果为： $\text{SiO}_2$ , 50.60%;  $\text{Al}_2\text{O}_3$ , 0.58%;  $\text{Fe}_2\text{O}_3$ , 2.95%;  $\text{FeO}$ , 33.49%;  $\text{MgO}$ , 10.72%;  $\text{CaO}$  →  $\text{K}_2\text{O}$ , 0.02%;  $\text{Na}_2\text{O}$ , 0.11%;  $\text{MnO}$ , 0.22%;  $\text{H}_2\text{O}^+$ , 0.79%;  $\text{H}_2\text{O}^-$ , 0.04%。其化学式为： $7(\text{Fe}, \text{Mg})_2\text{O} \cdot 8 \text{SiO}_2 \cdot \text{H}_2\text{O}$ ;  $\text{FeO}/\text{MgO}$  大致为  $6 \pm 1:4$ 。其光学性质经黄耀衡测定为： $N_y = 1.6775$ ,  $N\beta = 1.6720$ ,  $N_a = 1.6540$ ,  $N_y - N_a = 0.235(\text{Na})$ ;  $Z_{1c} = 19^\circ$ ;  $(-2)v = 80^\circ \pm$ ; 滤片中无色；有聚片双晶纹。是富铁的镁铁闪石，约含镁闪石分子 60%。

3)  $N\beta = 1.055 \pm$ ,  $Z/c = 0^\circ$ , 负光性，滤片中无色。

閃石(鐵直閃石)柘榴岩、綠泥鎂鈦角閃(直閃)岩、綠泥柘榴岩、磁鐵柘榴綠泥岩等鮮艳夺目的岩石(圖版II圖2, 圖版IV圖1), 由不等量的磁鐵矿、鐵鋁柘榴石、鎂鐵閃石(或鐵直閃石)和綠泥石<sup>1)</sup>等四种矿物或其中2—3种矿物組成, 有时也含石英或菱鐵矿而沒有鎂鐵閃石(鐵直閃石)。靠近断層的貧矿上盤石英岩(即矽質粒岩)中, 也往往含有星染状的磁鐵矿, 并为細小的鐵鋁柘榴石和鎂鐵閃石(鐵直閃石)所交代, 受到一定程度的矿化和热液交代作用(圖2, 圖4); 附近的角閃岩也可漸变为綠泥石化的角閃岩或含有普通角閃石殘粒的片狀黑云母柘榴石綠泥岩或黑云母綠泥柘榴岩(圖版V, 圖1), 这些岩石很明显是由角閃岩經交代性的热液蚀变所生成, 附近有时还有大片白云母和电气石; 上述断層带中有斷層角砾岩存在时, 一般

北30°东

南30°西

都受到和石英岩相似的矿化和蚀变作用。

在有些离富矿不远由蚀变角閃岩构成的小背斜軸部(如楊木山北坡), 有鐵鋁柘榴石<sup>2)</sup>和石英共生的团塊。

与富矿生成有密切关系的上述各种矿物中, 綠泥石(包括鱗綠泥石、輝綠泥石、肩石等)、黑云母、白云母、黃銅矿、黃鐵矿、石英、菱鐵矿等是标准的或常见的热液矿物, 其中菱鐵矿的生成, 在本区似有相当的限制。白云母和电气石在矿区內分布較广, 但靠近矿体的結晶較大, 有时数量也較多, 誓明它們——接近富矿体的这两种矿物——的生成和成矿热液有密切的关系, 并指示着热液中含有一些揮發性元素和气体的可能。又液体中除含有导源(至少一部分)于角閃岩內普通角閃石的鈉質<sup>3)</sup>外, 也有一定数量的鉀, 因而肯

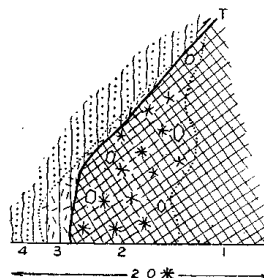


圖4 馬長岭二矿區通測20米坑中央联络坑道  
含鐵質第6層鐵矿的富化帶上盤示描  
示斷層附近的富鐵矿化和變情況。1. 鐵  
富矿, 东北边缘含有鐵鋁柘榴石及鎂鐵閃石(鐵直閃石), 向西南达一定距离后变为貧鐵矿。2. 鎂鐵閃石  
(鐵直閃石)及鐵鋁柘榴石化的矽質粒岩。3. 鎂鐵閃石  
(鐵直閃石)及鐵鋁柘榴石化的矽質粒岩。4. 矽質粒  
岩。T. 鉄質矿生成为早(或大致同时)的走向迎断層。  
1, 2間界綫是漸變的。(根据参考文献[19]第105  
版之1修改)

- 1) 变代鐵鋁柘榴石的一种鱗綠泥石, 經地质部北京化驗室的分析, 其結果为:  $\text{SiO}_2$  25.57%;  $\text{Al}_2\text{O}_3$  20.92%;  $\text{Fe}_2\text{O}_3$  4.03%;  $\text{FeO}$ , 26.40%;  $\text{MgO}$ , 12.35%;  $\text{CaO}$ , -;  $\text{K}_2\text{O}$ , 0.03%;  $\text{Na}_2\text{O}$ , 0.09%;  $\text{MnO}$ , 0.04%;  $\text{TlO}_2$ , 0.25%;  $\text{H}_2\text{O}^+$ , 10.00%;  $\text{H}_2\text{O}^-$ , 0.08%。其部分光學性質經黃蘿整定為: 負光性:  $N_d = 1.63$ ; 双屈折很低, 有异常干涉色, 大致为鱗綠泥石(Aphrosiderite)。另有輝綠泥石(Diabantite)。
- 2) 团塊中鐵鋁柘榴石晶体为三八面体, 在一般變帶中者主为菱形十二面体。
- 3) 本区含铁矿下含铁矿的一塊石英角閃岩(号码AO 18)含  $\text{Na}_2\text{O}$  达 3.18%,  $\text{K}_2\text{O}$  达 0.8%(見前), 这些  
鐵金屬應部分存在于构成岩石主要矿物的普通角閃石中。而由角閃岩变成的變矿物如綠泥石、鎂鐵閃  
石等鉀鉀含量是微不足道的。

定成矿热液在一定阶段是船性的(相对的)的。铁镁闪石、铁直闪石、铁铝柘榴石并不是标准的热液矿物，一般认为是中级区域变质的产物，由于它们和上述庸庸怀疑的热液(气)矿物关系密切，也应是大致同期生成的矿物。值得注意的是未經热液蚀变的贫矿中有时也含有一定数量的铁闪石针状小晶体，又含铁膏——含铁矿的地层——中部的半粘土质粒岩中局部(如二矿区东南部大砬子附近)有细小铁铝柘榴石顺着层面和沿层理的石英细脉、团块而产出，这一方面说明了一部分热液活动时期，有着与区域变质作用——至少是它的晚期——相似的环境，甚至在时间上是部分重叠的，另一方面也指示着区域变质作用是在较为湿润的情况下生成的。但必须指出：在富矿生成时期，流体——主要是热液——的活跃性更为增大，正因为这样，富矿体中及其附近的铁铝柘榴石、铁闪石和白云母等结晶达到了一定的或较大的体积(图版V图1，图版II图2，图版IV图1)。

除黄铁矿、黄铜矿的生成可能稍晚外，磁铁矿和其他矿物的结晶时期，前后差别不大，大致同时，但石英的生成间距较长，且部分生成较晚。又由于铁铝柘榴石部分为绿泥石所交代，因此至少一部分或有一种绿泥石(鳞绿泥石)的生成较前者为晚。

从上面的叙述和讨论，可以充分说明弓长岭第二矿区的主要磁铁富矿，决不是如都留一维<sup>①</sup>所称由接触变质造成，也不是贫矿中原生富矿经区域变质作用<sup>②</sup>而生成；又因为矿石结构紧密(图版IV图2)，更不是潜水或热液将贫矿内砂质溶解带走生成；而主要是大地槽内含铁沉积层在密挤褶皱末期的走向逆断层生成后不久，区域变质作用还未完全终止的时候，受到含铁高温热液(及热气?)发生去砂和沉淀铁质的交代作用的结果。在富化带一定距离以内偶尔见到的石英脉、石英细脉和上述铁铝柘榴石英团块中的SiO<sub>2</sub>，可能就是取源于这种交代作用的。根据前述化学分析资料，“蚀变矿物”如铁铝柘榴石、镁铁闪石(铁直闪石)和绿泥石，都是富铁矿物，远较原岩中普通角闪石(阳起石透闪石)的含铁量为多，说明热液中铁质，除与贫矿交代成富铁矿外，也有一部分供给上述三种新矿物的组成。由于本区前震旦纪变质岩大部分受了与区域变质作用有密切关系的一次花岗岩化作用<sup>③</sup>的不同程度的影响，热液很可能和这种作用的晚期活动(尤其是它的热液活动)有关系。热液中所含的一般物质成分，有一部分来自热液影响所及的围岩；至于造成铁矿富化作用的铁质，很有可能一部分来自岩浆、而另一部分来自影响所及的围岩和一定深度内为花岗岩浆(包括有关高温流体)所融溶或交代的贫铁矿。

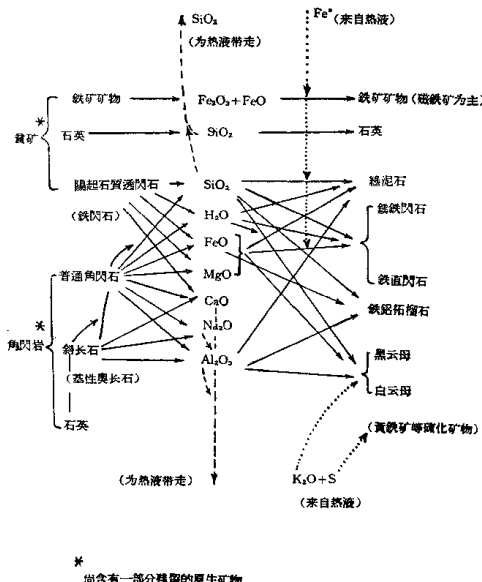
1) 富矿的生成受着很明显的构造控制这事实，说明它是后生的；即使有原生富矿存在的可能，数量也是极少的。

2) 与这次花岗岩化作用有密切关系的花岗质岩石即作者等<sup>④</sup>所称的弓长岭地区的“较老花岗岩”，是一种淡红色、中粒、略呈片麻状的混合质、花岗閃长岩岩石。

質。这种富化作用都發生于震旦紀以前古老地槽受到褶皺而隆起的时期，当时含鐵層还未出露于地表而受到侵蝕。至于未受明显热液影响的貧矿，是否也曾受到一些輕微的富化，在目前还是一个不易解决的問題；即使鉄質受到一些迁移而略有局部的富化，也是輕微不足道（見后），而且不致影响到貧矿的平均品位。

弓長嶺主要磁鐵富矿生成时有关岩石的主要矿物和化学变化，可以下列圖解表示：

貧矿及其围岩 —— 在相对还原情况下的交代作用 → 磁鐵富矿及主要共生矿物



乙、鐵矿矿物以赤铁矿为主、生成温度較低的。矿石主由赤铁矿（包括鍊铁矿或假像赤铁矿）組成，含有少量脉石矿物如白云母、石英，有时也有綠泥石乃至方解石。作为围岩的貧矿及附近的角閃岩或綠泥片岩，一般受明显的綠泥石化和白云母化作用，有时还

有绢云母和滑石(弓长岭二矿区)以及黄铁矿的生成。在这些富矿的走向延长方向的贫矿中，往往有镜铁矿石英脉及石英小脉。这都說明铁矿的生成也伴随着明显的热液活动与热液蚀变的痕迹。

化学成分方面具有与上述磁铁富矿相似的特点，就是含铁量远較附近贫矿为富，而 $\text{SiO}_2$ 、 $\text{CaO}$ 、 $\text{MgO}$ 、 $\text{Al}_2\text{O}_3$ 等含量则較低。由于一般不含黄铁矿，硫的成分仍与贫矿相接近。

本类型富矿，颗粒一般也較贫矿为粗，比較致密，也偶爾夹着局部富化的贫矿层，显示被铁质交代的痕迹。結合上述矿体附近所見热液蚀变現象，也足說明富矿系由含铁热液与贫矿發生交代作用所造成。由于热液矿物中含有白云母，較大富矿也生于与角閃岩密切共生的贫矿中，而角閃岩中普通角閃石也同样触变为綠泥石，因而也可推断热液的化学性質是偏于鹼性的，而且在成矿过程中它的 pH 值是在逐渐增加至一定限度的。根据铁矿矿物以及共生矿物的种类和性質——具备一般所謂中深热液矿床特性——指示着热液是在温度較低但較充分氧化的环境下进行的。镜铁矿是新生成的矿物，假想赤铁矿可能是較早的磁铁矿受了热液的氧化作用所生成；至于沒有任何磁铁矿残迹或外形的赤铁矿，是否部分也由磁铁矿經热液氧化而来，尚待进一步的研究方能决定，但至少有一部分是直接由热液交代生成的。

矿化作用所受的构造控制是明显的。較大矿体(厚达 10—15 米或以上)也都順着矿化以前与走向近乎平行的較大道斷層或斷層帶(如弓长岭二矿区)而产出，局部是富化的貧鐵矿角砾岩。小的矿体或貧鐵矿中零星富化部分，则一般生于小的走向断層、斜交断層或横断層中及其附近(如庙兒沟及弓长岭矿区的一部分)，这些断層的規模小，生成的时期也較上述大走向逆断層为晚；有的生于貧鐵矿受到小型密挤引振褶皺而又常有局部破裂的地段(弓长岭一矿区)。含铁热液就是沿着这些断裂带而与贫矿进行交代富集的。

富矿一般距前震旦紀的一种花崗質岩石及其有关的混合岩(如弓长岭二矿区的“較老花崗岩”及有关混合岩)或时代較新的花崗岩(弓长岭一矿区<sup>1)</sup>)不远，矿化現象很可能与这些岩石生成(以及和上述第一种花崗質岩石有关的混合作用或花崗岩化作用)有密切联系的热液作用有关，因此不同地点的富化作用时代可能是不同的。根据现有資料，較大富矿主要生成于前震旦紀时代。热液中铁質，也有可能部分导源于深处被花崗岩浆融溶交代的貧鐵矿；热液中所含其他物质的一部分，也应来自热液影响所及的岩

<sup>1)</sup> 是一种淡紅色中粒至粗粒、含有一定数量奥长石的微斜长石花崗岩，即作者等<sup>[17]</sup>所称弓长岭地区的“較新花崗岩”，其时代晚于震旦紀。

石——尤其是角闪岩。

此外，贫矿中也有受了伟晶岩或伟晶质花岗岩的影响而生成的小的不规则赤铁富矿体（如芝罘），附近有正长石的富集和电气石的生成，其生成过程大致和上述相似情况下所生成的小磁铁富矿体相类似，但具体地质条件有所不同。

虽然弓长岭二矿区的赤铁富矿与磁铁富矿分布于不同地区，但主要交代了同一贫矿层——第六矿层<sup>[17]</sup>——甚至沿着同一断层带产出，并由于两者相接处局部赤铁富矿插入（图5）并交代了磁铁富矿，说明前者生成较晚，这和它的生成温度较低情况也相

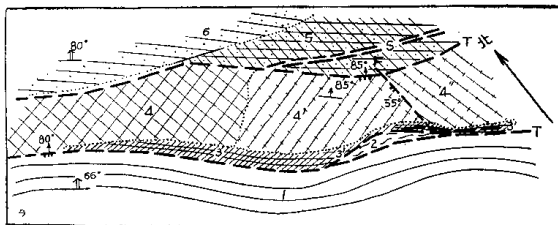


圖 5 弓長嶺二礦區××山 250 米坑道內平面地質示意圖  
(根據參考文獻[19]圖版 53 及程裕狀等原始記錄修改)

示鞍山式鐵礦內磁鐵富礦(4)與赤鐵富礦(4')的關係及走向逆斷層(T)附近的  
鐵礦富化及熱液變現象。1. 粗粒半富土質黑雲母(局部綠泥石化)石英長石粒岩  
(含銹帶中部標示層)。2. 積泥石化的石英斜長角閃岩(變變的含銹層上含銹帶中石  
英斜長角閃岩)。3. 細紋狀貧鐵礦以磁鐵礦為主。3'. 細紋狀貧鐵礦，以赤鐵礦為  
主。4. 以磁鐵礦為主的富礦。4'. 含有不等量磁鐵礦及赤鐵礦的富礦。4'' 以赤鐵礦為  
主的富礦。5. 含有磁鐵礦(局部假像赤鐵礦化)、石英和綠泥石的鐵銹閃石岩，夾有  
以磁鐵礦為主的小富礦(矽化及熱液變變的矽質鈣岩及含銹矽質鈣岩)。6. 局部  
含有網云母的矽質鈣岩(中粒石英岩)。T. 走向逆斷層，主要生成於鐵礦富化以  
前，局部在以後又有錯動。F. 富礦生成以後的斜交斷層。S. 採壓面，3 与 3' 之間的分  
界線未具體劃分，兩者均為上含銹帶第三層貧礦(即含銹層的第六層貧礦)的未富  
化部分；4' 中局部赤鐵礦體交代及插入磁鐵富礦，4, 4', 4'' 之間局部為變變的分界  
線未準確圈定，均為上含銹帶第三層貧礦的富化部分。

符合，但仍可能和磁铁富矿一样（见前）与出露于矿体不远（以东）的前震旦纪淡红色片麻状含黑云母的花岗闪长岩带混合花岗岩及其有关的混合岩在成因上有密切关系。因此，两种富矿都可能生成于这些岩石发育过程中的热液期，但时代有先后，溶液的具体情况，也有所不同。作为赤铁富矿围岩的贫矿中铁矿矿物，也以赤铁矿（包括假像赤铁矿和菱铁矿）为主（图5），磁铁矿（局部假像赤铁矿化）的含量一般很少，并为含菱铁矿石英脉所侵入，而同一矿区内的其他贫矿层（包括作为磁铁富矿围岩的贫矿和未经显著富化的贫矿）的铁矿矿物都以磁铁矿为主，这说明这部分贫矿的铁矿矿物原来也可能以磁

铁矿为主，但在赤铁矿生成的时候，也受到了热液的影响，使得含铁矿物绝大部分变为赤铁矿（包括假象赤铁矿及少量磁铁矿），但没有受到显著的富化作用而已。

除了上述两种重要亚类以外，由含铁热液交代生成的富矿，有时兼含不定量的磁铁矿和赤铁矿（如丹长岭一矿区），脉石矿物和蚀变现象一般和以赤铁矿为主的富矿相似，生成条件也大致相同。在已知产地中，控制矿床生成的多半是小断层，因此造成富体的体积一般很小。

此外，贫矿中也有由于热液活动产生铁质局部迁移与富集而生成的小团“富矿”（东鞍山<sup>[25]</sup>），铁矿矿物与贫矿中的相同，铁质的富集不受构造的控制。这些小团呈块状，很致密，与贫矿没有明显的界限，四周常有可能是贫化的、很贫的灰白色或灰色的条带状铁矿存在，有时在附近黑色条带中有一串串的小洞，这都说明附近曾有铁质移动的征迹。有时在附近的贫矿节理上有磁铁矿小片和黄铁矿小粒，因而指示着这些物质迁移是受到了热液活动的影响。富矿团块中铁质主要来自附近贫矿，也可能有一部分是外来的。这些矿块，在经济上没有意义，但生成过程与上述热液交代生成的较大富矿有相似的地方。

另据周世泰等<sup>[27]</sup>在樱桃园的观察，在贫矿边缘，不规则地渐变为以磁铁矿为主的小富矿体，不但富矿中有残留的贫矿石小块，附近还有黄白色含铁矿物很少的石英质岩石，后者含有条带状排列的小坑和小型富矿脉（图6）。他们也认为这是由于贫铁矿受到较大规模的热液作用而发生铁质迁移的结果。值得注意的是：这些现象是发生在与贫矿走向近乎平行的大断裂带的附近，距绿泥石蚀变带和花岗岩活动的地区也很近。

**(二)由贫矿经热液淋滤而生成的富矿** 在个别地点（如庙儿沟的一个富矿体），上述磁铁富矿亚类的矿石结构比较松散，说明贫矿中矽质被热液淋滤时，没有伴随着明显的铁质交代作用（或至少铁质交代作用不强），因而这些富矿主要（或至少一部分）经热液淋滤作用所造成。

**(三)变质的原生富矿** 在有些地区（庙儿沟，樱桃园南胡家庄子一带），贫矿中局部含有延展方向与贫矿层位一致的小富矿体，较大的单独矿体厚几十厘米至3米，长达7—8米以上。根据旧坑道迹，推知矿带断续延长有时可达150米；矿体局部尚有细纹状构造，结构致密，和贫矿分界不显，包含的矿物种类也相同，没有伴生的蚀变矿物，较为



圖 6 鞍山櫻桃園附近素描  
(根据参考文献[27]圖41周世泰等素描)

示貧鐵矿石中因受热液作用而發生的鐵質移動現象。1. 貧鐵矿，线条示条带方向。2. 富鐵矿脉。3. 不含鐵的石英岩，线条示殘留的黑色条带。